

## О ВОЗМОЖНОСТИ РЕШЕНИЯ ОБРАТНОЙ ЗАДАЧИ ДИФРАКЦИОННОГО РАССЕЯНИЯ С УЧЕТОМ ДИНАМИЧЕСКИХ ЭФФЕКТОВ

С.П.Дарбинян, П.В.Петрашень, Ф.Н.Чуховский

Институт кристаллографии РАН,  
11733, Москва

Поступила в редакцию 20 декабря 1991 г.

Показана возможность восстановления комплексной отражательной способности кристалла по угловой зависимости кривой дифракционного отражения в условиях, когда существенны эффекты динамического рассеяния рентгеновских лучей в нарушенном кристаллическом слое.

Определение распределения по толщине  $z$  комплексной отражательной способности (КОС) кристалла (зависящей от величины структурного фактора  $\sigma(z)$  и упругих смещений  $\vec{u}(z)$  узлов кристаллической решетки) по угловой интенсивности брэгговского отражения рентгеновских лучей представляет собой одну из главных проблем теории обратных задач дифракции<sup>1-5</sup>. Проблема сводится к последовательному решению следующих двух задач:

1) восстановление фазы отраженной волны или амплитудного коэффициента отражения (АКО) по экспериментальным данным дифракционного рассеяния рентгеновских лучей (ДРРЛ);

2) вычисление КОС по угловой зависимости АКО.

В борновском приближении теории ДРРЛ решение первой задачи детально описано в<sup>1,2</sup>, причем в<sup>2</sup> приведены примеры практического применения теории к тонким гетероэпитаксиальным структурам, когда толщина нарушенного кристаллического слоя  $T \ll \Lambda_{\text{экс}}$ , где  $\Lambda_{\text{экс}}$  — длина экстинкции рентгеновских лучей. В случае когда  $T \gg \Lambda_{\text{экс}}$ , становятся существенными динамические эффекты ДРРЛ, которые делают связь между КОС и АКО более сложной. Существенно, однако, что (см.<sup>1</sup>) решения первой задачи в борновском и динамическом случае ДРРЛ совпадают. Таким образом, для распространения существующей теории<sup>1</sup> на случай более толстых кристаллических структур, необходимо построить метод решения, выходящий за рамки борновского приближения теории ДРРЛ.

В основу такого метода удобно положить рекуррентные соотношения, связывающие между собой АКО  $R(q, z_N)$  и  $R(q, z_{N+1})$  на двух различных глубинах под поверхностью  $z_N$  и  $z_{N+1}$  (соответственно  $z_{N+1} > z_N$ )

$$R(q, z_N) = r_N(q, z_N) + R(q, z_{N+1})/\beta_N(q, z_N), \quad (1)$$

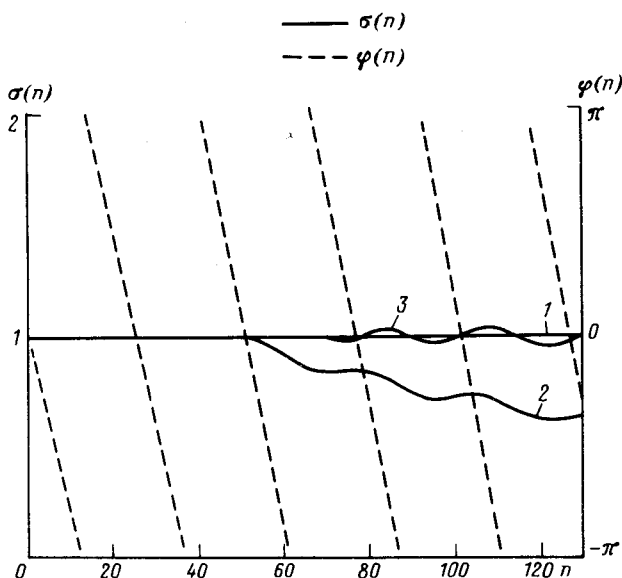
где  $q = q' + i\mu_0$ ,  $q'$  — нормированное отклонение от условия Брэгга для идеального кристалла,  $\mu_0$  — нормальный коэффициент поглощения,  $r_N(q, z_N)$  — коэффициент отражения от тонкого изолированного кристаллического слоя  $\Delta = z_{N+1} - z_N$ . Из общей теории ДРРЛ следует, что  $\beta_N(q, z)$  удовлетворяет уравнению

$$-i \frac{d\beta_N(q, z)}{dz} = (q - \alpha)\beta_N(q, z) + \sigma(z)[2r_N(q, z)\beta_N(q, z) + R(q, z_{N+1})], \quad (2)$$

с граничным условием  $\beta_{N+1}(q, z_{N+1}) = 1$ ,  $z_N \leq z \leq z_{N+1}$ . Здесь  $\alpha = d(\vec{h}\vec{u})/dz$ ,  $\vec{h}$  — вектор дифракции,  $\vec{u}(z)$  — смещение отражающей плоскости,  $\sigma(z)$  — пропорционально модулю структурного фактора. Если  $\Delta \ll \Lambda_{\text{экс}}$ , то можно показать,

что расчет  $r_N(q, z_N)$  в борновском приближении теории ДРПД дает точность  $\sim \Delta^3 \ll 1$ , а пренебрежение первого слагаемого в квадратных скобках в уравнении (2) позволяет вычислить  $\beta_N(q, z_N)$  с точностью  $\sim \Delta^2 \ll 1$ .

АКО  $R(q, z_{N+1})$ , рассматриваемые как функции в комплексной плоскости  $q$ , аналитичны в верхней полуплоскости, поэтому соответствующие им фурье-преобразованные отличны от нуля лишь в области  $z > z_N$ <sup>1</sup>. Можно показать, что при делении  $R(q, z_{N+1})$  на  $\beta_N(q, z_N)$ , это свойство сохраняется, поэтому фурье-преобразование второго слагаемого в (1) отлично от нуля при  $z > z_{N+1}$ , в то время как фурье-преобразование от  $r_N(q, z_N)$  дает нам профиль КОС в диапазоне  $z_N < z < z_{N+1}$ . Отсюда следует важное утверждение, что фурье-преобразованные АКО в борновском и динамическом случае совпадают в достаточно близком к поверхности слое.



Профиль КОС кристалла с нарушенным слоем.  $z_n = (T/128)n$ , где  $n = 0, 1, 2, \dots, 128$ . 1 – модельный профиль КОС; 2 – расчетный профиль КОС – борновское приближение; 3 – расчетный профиль КОС – динамический случай

Таким образом, приходим к следующему алгоритму решения второй задачи определения КОС по угловой зависимости АКО, а именно:

- 1) кристаллическая структура разбивается на подслои, толщины которых  $\Delta \ll \Lambda_{\text{экс}}$ ;
- 2) вычисляется фурье-преобразование заданного АКО на поверхности структуры  $R(q, 0)$ , и тем самым определяется фрагмент профиля КОС в первом подслое;
- 3) по распределению КОС  $\sigma(z) \exp[-i\varphi(z)]$ , где  $\varphi(z) = \vec{h}\vec{u}(z)$ , в первом подслое вычисляются амплитуды  $r_1(q, z_1)$ ,  $\beta_1(q, z_1)$  в борновском приближении, а затем по формуле (1) АКО  $R(q, z_1)$ , то есть коэффициент отражения, соответствующий структуре с "удаленным" первым подслоем;
- 4) далее процесс повторяется начиная с п.2, до удаления всех подсло-

ев нарушенного слоя. Рассчитанные таким образом в отдельных подслоях фрагменты КОС "сшиваются" и дают полный профиль КОС по толщине нарушенного кристалла.

В качестве примера применения данного алгоритма было проведено ЭВМ – моделирование для случая профиля КОС типа "ступеньки", соответствующего структуре, состоящей из подложки и приповерхностного кристаллического слоя с измененным параметром решетки, толщина которого  $T = 1,6\lambda_{\text{экс}}$ . Был проведен расчет прямой задачи динамического ДРПД, и рассчитана угловая зависимость АКО на поверхности кристалла  $R(q, 0)$ , после чего в соответствии с описанным выше алгоритмом производилось восстановление профиля КОС, который затем сравнивался с исходным заданным профилем, а также с профилем КОС, восстановленным в борновском приближении (см. рисунок). Видно, что решение обратной задачи ДРПД с учетом динамических эффектов дает лучшее приближение к истинному решению, чем борновское приближение. Отметим, что наблюдаемые на обоих восстановленных профилях КОС при достаточно больших толщинах  $z > T/2$  паразитные бисения, связаны, по-видимому, с накоплением ошибок округления при использовании дискретного преобразования Фурье, которые практически исчезают, если использовать известные методы стабилизации решения некорректных задач <sup>6</sup>.

- 
1. П.В.Петрашень, Ф.Н.Чуховский, ДАН СССР, **309**, 105 (1989).
  2. P.V.Petrashen, and F.N.Chukhovskii, Collected Abstracts XII European Crystallographic Meeting. Moscow, USSR, **3**, 7 (1989)
  3. A.M.Afanasev, S.S.Funchenko, and A.V.Maslov, Phys. Stat. Sol. (a) **117**, 341 (1990).
  4. И.А.Варганьянц, М.В.Ковальчук, В.Г.Кон и др., Письма в ЖЭТФ **49**, 630 (1989).
  5. Yu.N.Belyaev, and A.V.Kolpakov, Phys. Stat. Sol. (a) **76**, 641 (1983).
  6. А.Н.Тихонов, В.Я.Арсенин, Методы решения некорректных задач. М.: Наука, 1979.